

قياس ثابت العزل الكهربائي العقدي * للمواد ذات الضياع المنخفض بطريقة الأمواج المستقرة

الدكتور حسن غانم

(ورد إلى المجلة في 21/9/1998، قبل للنشر في 17/3/1999)

□ الملخص □

يوجد نموذجان من طرائق قياس ثابت العزل الكهربائي للمواد :

- طرائق تعتمد على دراسة بنية الحقل الكهربائي عند الرنين *Résonance*، الذي يتميز بتردد الرنين وعامل جودة الدارة. إن إدخال العينة في الفجوة الرنانة يؤدي لتغيير مميزاتها. بشكل عام، يرتبط القسم الحقيقي لثابت العزل الكهربائي * بـ تغير التردد، أما الضياع في العازل فيرتبط بتغير عامل جودة الدارة.

- طرائق تعتمد على اقطاع عينة من المادة، ووضعها في منتصف دليل الموجة ذي المقطع المستطيل واستخدام عدة مسابر كاشفة للأمواج الميكروية. وتركز هذه المسابر على سطح المادة المدروسة. نحصل على خواص المادة بتعيين عوامل الانعكاس والانتقال.

تعتمد دراستنا على طرائق استخدام الأمواج المستقرة داخل العينات العازلة، وكذلك طرائق مبنية على دراسة الأمواج المنعكسة من قبل المواد العازلة.

إن امتصاص العينة لجزء من الموجة الواردة يساهم في تعيين الضياع في هذه العينة، أما معرفة الموجة المنعكسة عن العينة فيعين القسم الحقيقي * لثابت العزل الكهربائي.

يتم قياس ثابت العزل الكهربائي العقدي للمواد ذات الضياع المنخفض بدقة، تتعلق بمقدار الدقة التي يتم فيها حساب بعض العوامل التي تتعلق بأبعاد دليل الموجة والعينة معاً.

* أستاذ مساعد في قسم الفيزياء كلية العلوم - جامعة تشرين - اللاذقية - سورية.

Mesure du constant diélectrique complexe ϵ^* des matériaux à faible perte par la méthode des ondes stationnaires

Dr. Hassan GHANEM*

(Reçu le 21/9/1998, Accepté le 17/3/1999)

□ RÉSUMÉ □

Il existe deux différents types de méthodes de détermination de la permittivité de matériaux :

- *La méthode de résonance consiste à partir d'une configuration de champ électrique résonante, caractérisée par une fréquence de résonance et un coefficient de surtension du circuit. L'introduction de l'échantillon dans la cavité, modifie ses caractéristiques. En général, la partie réelle du constant diélectrique ϵ est liée à la variation de fréquence observée, les pertes diélectriques sont liées à la variation du facteur de surtension.*
- *On prélève un échantillon de matériau, que l'on place dans une section de guide d'ondes et on dispose plusieurs sondes hyperfréquences qu'on applique sur la surface du matériau. Les propriétés sont obtenues par une mesure de reflexion ou de transmission.*

Notre travail s'appuie sur des méthodes utilisant les ondes stationnaires à l'intérieur des échantillons diélectriques et des méthodes fondées sur les ondes réfléchies par le diélectrique.

Dans cette méthode, l'absorption de l'onde qui a traversé l'échantillon mesure les pertes diélectriques du matériau. L'onde réfléchie sur la face d'entrée de l'échantillon détermine la partie réelle de la permittivité.

On détermine la constante diélectrique des matériaux à faible perte avec la même précision qui nous permet de calculer les valeurs de deux paramètres dépendants des dimensions du guide d'onde et de l'échantillon.

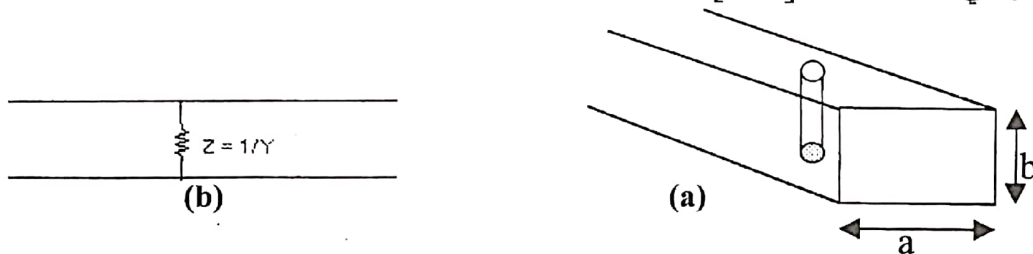
*Maître de Conférences, Département de Physique, Faculté des Sciences, Université de Tichrine,
Lattaquié, Syrie

- مقدمة 1 - Introduction

تعتبر معرفة خواص المواد في مجال الأمواج الميكروية ، وبشكل خاص ثوابت عزلها الكهربائي هامة، من وجہة نظر تصنيع التجهيزات المخصصة لأجهزة الرادار والاتصالات [1]، ومن وجہة نظر المعالجة الحرارية لهذه المواد ضمن أفران الأمواج الميكروية (الطبخ و التسخين). يتعلق الأمر في هذه الحالة بمعرفة خواص هذه المواد في مختلف مراحل المعالجة لتمكن من تصنيع التجهيزات التي تؤمن انتقال فعال للطاقة [2].

تنناول في هذه الدراسة العينات السائلة، أو الصلبة ذات الشكل الحبيبي، أو على شكل بودرة، والتي ثابت عزلها الكهربائي العقدي ϵ' يعطى بالعلاقة: $\epsilon'' = \epsilon_0 / \epsilon'$. يتم وضع العينات ضمن أنبوب زجاجي أسطواني الشكل، قطره الداخلي d ، وذلك في منتصف الوجه الكبير من دليل موجة مستطيل المقطع، بعده a و b ، كما هو مبين في الشكل (1).

بفرض أن العينة موضوعة في منطقة يكون فيها الحقل الكهرطيسي متجانساً. يتحقق هذا الشرط من أجل عينة أسطوانية موضوعة في وسط دليل موجة بشكل موازي للجانب الصغير منه، أي أن السطح الأسطواني للعينة يكون موازياً للحقل الكهربائي، وفي هذه الحالة تكون بنية الحقل الكهرطيسي الموجود داخل المادة منتظمة. إذا كان قطر العينة صغيراً بشكل كاف وثبتت عزلها الكهربائي غير كبير جداً، فإن العينة يمكن اعتبارها ك حاجز رقيق، هذا يعني أن داراتها المكافئة يمكن اختصارها إلى ممانعة عقدية تفرعيه موضوعة في المستوى المار في مركز العينة [3].



الشكل (1) :

(a) - مكان توضع العينة الأسطوانية في وسط دليل الموجة.
 (b) - الدارة الكهربائية المكافئة للعينة.

بفرض أن السماحية العقدية المنسوبة للعينة هي : $Y = G + jB$ ، حيث إن:

$$B = \frac{u-s}{(u-s)^2 + v^2} \left(\frac{2\lambda_e}{a} \right) \quad \text{و} \quad G = \frac{v}{(u-s)^2 + v^2} \left(\frac{2\lambda_e}{a} \right) \quad (1)$$

يرتبط الوسيطان u و v ب ϵ' و ϵ'' حسب العلاقات التاليتين :

$$u = \frac{k(\varepsilon' - 1)}{(\varepsilon' - 1)^2 + \varepsilon''^2} \quad (2)$$

$$v = \frac{k\varepsilon''}{(\varepsilon' - 1)^2 + \varepsilon''^2} \quad (3)$$

إن s و k عبارة عن عاملين، يتعلّق الأول s بمقدار كبير بأحد أبعاد دليل الموجة a ، وقطر الأنابيب الحامل للعينة المدروسة، بينما يكون ارتباط العامل الثاني k بقطر الأنابيب الحامل للعينة فقط [4] ، كما هو مبين بالعلاقة التالية:

$$K = 2\left(\frac{\lambda_0}{\pi d}\right)^2 + 0.5 \quad (4)$$

$$S = \ln\left(\frac{4a}{\pi d}\right) - \frac{7}{4} + 2 \sum_{n=2}^{\infty} \left(\frac{1}{\sqrt{n^2 - \left(\frac{2a}{\lambda_0}\right)^2}} - \frac{1}{n} \right) \cdot \sin^2 \frac{n\pi}{2} \quad (5)$$

يمكّنا إعادة كتابة B و G بإدخال u و v كما يلي:

$$B = \frac{2\lambda_g w \left(1 - \frac{s}{k} w\right)}{ka \left[1 - \frac{s}{k} w\right]^2 + \eta} \quad (6)$$

$$G = \frac{2\lambda_g \varepsilon'' (1 + \eta)}{ka \left\{ \left[1 - \frac{s}{k} w\right]^2 + \eta \right\}} \quad (7)$$

$$w = (\varepsilon' - 1) \cdot (1 + \eta) \quad \text{و} \quad \eta = \frac{\varepsilon''^2}{(1 - \varepsilon')^2}$$

مع العلم أن:

بشكل عملي، يمكننا اعتبار قيمة η قريبة من الصفر لأن $\varepsilon' > \varepsilon''$ وكما أن قيمتها من أجل الماء. تصبح العلاقات التي تعطي B و G :

$$B = \frac{2\lambda_g (\varepsilon' - 1)}{ka \left[1 - \frac{s}{k} (\varepsilon' - 1)\right]} \quad (8)$$

$$G = \frac{2\lambda_g \varepsilon''}{ka \left[1 - \frac{s}{k} (\varepsilon' - 1)\right]^2} \quad (9)$$

2- تعين ϵ' و ϵ'' لعينات منخفضة الضياع:

يمكننا استنتاج قيم ϵ' و ϵ'' بعد تعين B و G ، حيث إن الثابت الوحيد الذي يطلب تحديده هو $2\lambda_g/ka$

$$\epsilon'' = G \frac{ka}{2\lambda_g} \left[1 - \frac{s}{k} (\epsilon' - 1) \right]^2 \quad \text{و} \quad \epsilon' = 1 + \frac{B \frac{ka}{2\lambda_g}}{1 + B \frac{ka}{2\lambda_g}} \quad (10)$$

ويمكنا أيضاً إجراء التقريب التالي في المعادلتين (6) و (7) : $\epsilon'' \approx \epsilon'$ اي $\eta=0$ و $1 < ws/k < d$ بقدر ما يكون d قطر أنبوب الحامل للعينة المستخدم صغيراً، وكذلك الضياع في المادة العازلة منخفضاً، فتصبح العلاقة (10) كما يلي:

$$\epsilon'' = G \frac{ka}{2\lambda_g} \quad \text{و} \quad \epsilon' = 1 + B \frac{ka}{2\lambda_g} \quad (11)$$

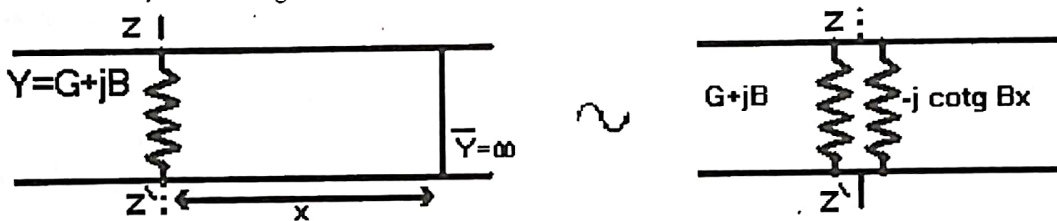
لتعين السماحية العقدية للعينة يمكن استخدام عينة ثابت عزلها الكهربائي معروفة، مثل teflon، حيث يكفي في هذه الحالة تعين B لأن $G=0$ حيث $\epsilon''=0$ ، واستنتاج قيمة العامل $2\lambda_g/ka$ بشكل تجريب [5, 6]. أن الفائدة من هذه الطريقة التجريبية هي في تقليل الأخطاء، وبشكل خاص التأثيرات الناتجة عن الفتحة الضرورية لإدخال العينة، والموجدة في منتصف دليل الموجة المستخدم.

2-1- تعين السماحية العقدية للعينة المدروسة:

-a- استخدام دارة مقصورة :

يتم ذلك بوضع دارة مقصورة على بعد x خلف مستوى النسب للعينة، لتكون سماحيتها التخيلية منسوبة لمستوى النسب $\beta x - j \cotg \beta x$ ، فت تكون السماحية العقدية الكلية منسوبة لمستوى النسب z^* ، كما هو موضح في الشكل (2) هي:

$$\beta = 2\pi/\lambda_g \quad \text{حيث} \quad Y_b = G + jB - j \cotg \beta x \quad (12)$$

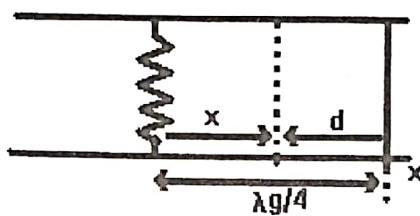


الشكل (2): وضع دارة مقصورة على بعد x خلف مستوى النسب للعينة.

إذا كانت العينة موضوعة ضمن أنبوب بدون ضياع، أي مصنوع من SiO_2 ، يجب إضافة سماحية jB على التفرع، بحيث تصبح عبارة Y_b :

$$Y_b = G + j(B + B_t) - j \cotg \beta x \quad (13)$$

عندما يكون الدليل فارغاً، نحصل على الموضع الذي من أجله تكون قيمة الحقل الكهربائي عظمى في مستوى النسب، عندما $\cotg \beta x = 0$ فأن $x = \lambda_g/4$ و $\beta x = \pi/2$ يمكننا أخذ هذا الموضع كبداً للمسافة على المكبس المقصور؛ أي: $x = d = (\lambda_g/4) - (\lambda_g/4)$ كما في الشكل (3).

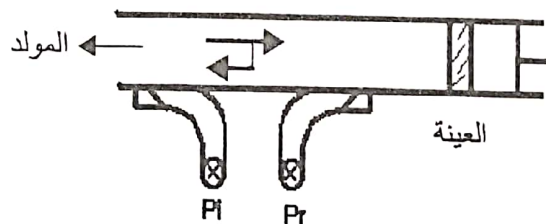


الشكل(3): اتخاذ الموضع d مبدأ لقياس المسافة اعتباراً من المكبس المقصور.

وتصبح علاقة : Y_b

$$Y_b = G + j(B + B_t) - j \tg \beta d \quad (14)$$

من أجل قياس B و G نستخدم الرابط الاتجاهي، حيث نضعه بين المولد والعينة المدروسة، بينما يوضع المكبس المقصور خلف العينة. يمكننا بوساطة الرابط الاتجاهي قياس الامplitude الواردة P_r والاستطاعة المنعكسة P_i ، كما هو مبين في الشكل (4).



الشكل (4): قياس B و G باستخدام الرابط الاتجاهي، وذلك بوضعه بين المولد والعينة المدروسة.

نعلم أن عامل الانعكاس يعطى بالعلاقة: $\rho = \frac{1 - Y_b}{1 + Y_b}$ ، وهذه علاقة عقدية، يمكننا حساب مطال

عامل الانعكاس حسب العلاقة :

$$|\rho|^2 = \frac{(G - 1)^2 + (B + B_t - \tg \beta d)^2}{(G + 1)^2 + (B + B_t - \tg \beta d)^2} \quad (15)$$

تكون قيمة ρ أصغرها عندما تتحقق العلاقة:

$$B + B_t = \tg \beta d \quad (16)$$

وتؤول العلاقة (15) إلى:

$$\left(\frac{G-1}{G+1}\right)^2 = |\rho|^2 = \frac{P_r}{P_i} \quad (17)$$

b- استخدام ممانعة موافقة تامة (Charge adaptée)

نضع في هذه الحالة ممانعة موافقة خلف مستوى النسب للعينة مباشرة، لتكن سماحيتها منسوبة لمستوى النسب هي $Y = 1$ ، فتكون السماحية العقدية الكلية منسوبة لمستوى النسب

zz' هي:

$$Y = G + I - jB$$

ولكن $\rho = |\rho| e^{j\theta}$ و $Y = \frac{1-\rho}{1+\rho}$ بالتعويض نجد أن :

$$G + jB = -\frac{2\rho}{1+\rho} = -2\left(\frac{\rho \cos \theta + \rho^2}{1+2\rho \cos \theta + \rho^2} + j\frac{\rho \sin \theta}{1+2\rho \cos \theta + \rho^2}\right)$$

$$G = -2 \frac{\rho \cos \theta + \rho^2}{1+2\rho \cos \theta + \rho^2} \quad \text{وبالتالي فإن :}$$

$$B = -2 \frac{\rho \sin \theta}{1+2\rho \cos \theta + \rho^2}$$

c- استخدام ممانعة غير موافقة :

تصبح علاقة السماحية العقدية الكلية في مستوى النسب zz' :

$$G + jB = Y - Y'$$

بفرض أن: Y السماحية العقدية للعينة و Y' سماحية المواجهة العقدية

$$Y' = \frac{1-\rho'}{1+\rho'} = |\rho'| e^{j\theta'} \quad \text{وتعطى بدلالة عامل الانعكاس بالعلاقة:}$$

بالتعويض نجد أن:

$$G = \frac{1-|\rho|^2}{1+2|\rho| \cos \theta + |\rho|^2} - \frac{1-|\rho'|^2}{1+2|\rho'| \cos \theta' + |\rho'|^2}$$

$$B = -\frac{2|\rho| \sin \theta}{1+2|\rho| \cos \theta + |\rho|^2} + \frac{2|\rho'| \sin \theta'}{1+2|\rho'| \cos \theta' + |\rho'|^2}$$

2-2 استخدام خط قياس مزود بمسير واحد ينتهي بمكبس مقصور:

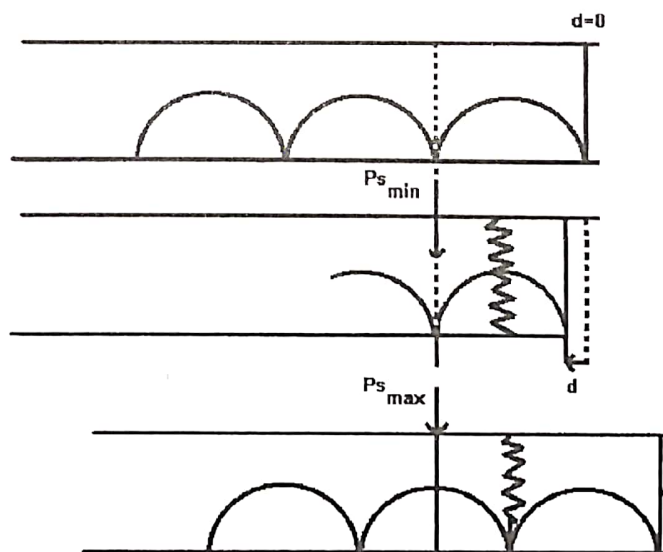
نستخدم مسيراً مرتبطاً بكاشف بلوري مصنوع من السيليسيوم، بحيث أن الجهد المقيس في ذلك الموضع يكون متناسبًا مع الاستطاعة. نضع مسيراً ثابتاً على مسافة $4/\lambda_0$ أمام العينة والمكبس المقصور خلف العينة، كما هو مبين في الشكل (5)، ثم ننفذ الخطوات التالية:

1. ننقل المكبس المقصور إلى الموضع الذي من أجله $d=0$ بدون وجود العينة.
2. ننقل المكبس المقصور بوجود العينة، باتجاه العينة حتى نحصل على قيمة صغرى للحقل الكهربائي، ثم نقيس d_1 و $P_{s\min}$

3. ننقل المكبس المقصور بوجود العينة باتجاه العينة حتى نحصل على قيمة عظمى للحقل الكهربائي، ثم نقيس d_2 و $P_{s\max}$.

$$G = \sqrt{\frac{P_{s\max}}{P_{s\min}}} = \frac{1 - |\rho|}{1 + |\rho|} \quad \text{و} \quad B + B_t = \tan \beta (d_1 - d_2) \quad \text{لدينا}$$

إن مساواة هذه الطريقة هي الحاجة لتغيير موضع المكبس المقصور من أجل القياس، كما أن العينة ليست موجودة دوماً في جوار الحقل الكهربائي الأعظمي، بالإضافة إلى أن طريقة القياس يدوية [6].



الشكل(5): وضع مسیر ثابت على مسافة $4/\lambda_0$ أمام العينة، بينما المکبس المقصور خلف العينة.

2-3 استخدام خط قياس مزود بمسيرين ينتهي بمكبس مقصور:

إذا كان S_1, S_2 عبارة عن مسيرين، البعد بينهما $4/\lambda_0$ ، بحيث يكون المسير الأول على بعد $4/\lambda_0$ أمام محور العينة، وليه المسير الثاني على بعد $2/\lambda_0$ من العينة. إذا وضعنا

في هذه الحالة مكبساً مقصوراً على بعد $4/\lambda$ خلف العينة يؤدي لظهور قيمة صغرى للحقل عند المسير الأول، وقيمة عظمى للحقل على كل من المسير الثاني والمحور المار من مركز العينة أيضاً. بدون تغيير موضع المسيرين يمكننا وضع العينة، مما يؤدي لتغيير طول الموجة المستقرة ومطالها أيضاً. تتم العودة للموضع الابتدائي اعتباراً من هذا الموضع، يجعل قيمة الحقل صغرى عند المسير الأول، يمكننا أن نلاحظ أن فرق الطور للممانعة المكافئة للعينة تم تعويضه بانتقال المكبس، كما هو مبين في الشكل (6). هذا يعني وجود العينة في منطقة يكون الحقل الكهربائي فيها أعظمياً. يمكن الحصول على القسم التخيلي لثابت العزل الكهربائي بمعرفة النسبة بين مطالي الاستطاعتين P_{s1} و P_{s2} للمسيرين الأول والثاني.

لقياس P_{s1} و P_{s2} ننفذ الخطوات التالية:

1- نقل المكبس المقصور (المثبت خلف مستوى العينة)، عندما يكون الأنابيب الحامل للعينة فارغاً، فنحصل على الموضع $0 = d$ الذي من أجله تكون قيمة الحقل الكهربائي صغرى عند المسير الأول.

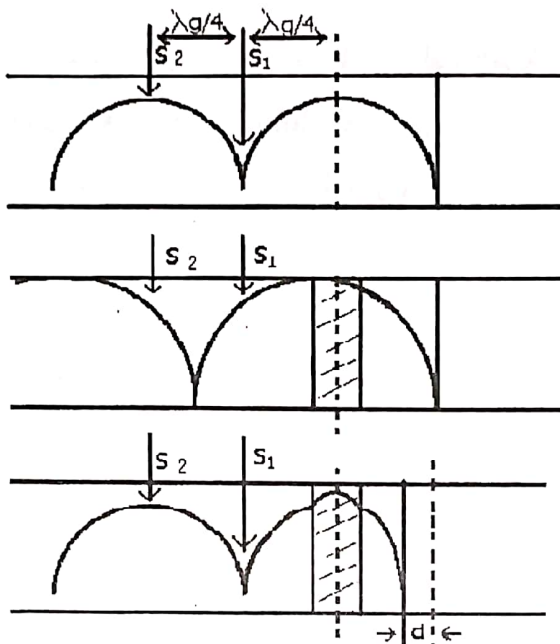
2- نضع العينة في الأنابيب، وننقل المكبس، بحيث نحصل على نهاية صغرى عند المسير الأول P_{s1} ، فتكون النهاية العظمى للحقل على المسير الثاني P_{s2} .

في هذه الحالة يكون لدينا :

$$G = \sqrt{\frac{P_{s1}}{P_{s2}}} = \frac{1 - |\rho|}{1 + |\rho|} \quad \text{وأما}$$

$$P_{abs} = P_i \frac{4G}{(G+1)^2} \quad \text{والاستطاعة الممتصة من قبل العينة هي :}$$

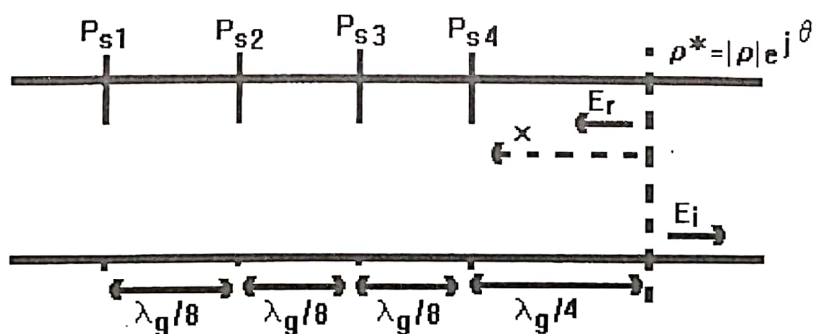
ونحتاج لحساب P_{abs} قياس الاستطاعة الواردة P_i ، وذلك باستخدام الرابط الاتجاهي، حيث يتم وضعه بين مولد الأمواج الميكروية والمسير الأول.



الشكل (6): يتم تعويض فرق الطور للممانعة المكافئة للعينة بانتقال المكبس المقصور.

4-4- استخدام خط قياس مزود بأربعة مسابر ينتهي بمكبس مقصور:

نثبت أربعة مسابر على خط قياس، المسافة بينها متساوية ومساوية لـ $\lambda_g/8$ ، بينما يبعد أول مسابر أمام العينة بمقدار $4\lambda_g/8$ عن مستوى النسب، كما هو مبين في الشكل (7)، يكون عامل الانعكاس في هذا المستوى $|ρ|e^{jθ} = ρ^* = |ρ|e^{jθ}$ ناتجاً عن السماحية العقدية Y .



الشكل (7): تثبيت أربعة مسابر على خط قياس المسافة بينها متساوية ومساوية لـ $\lambda_g/8$ بينما يبعد أول مسابر أمام العينة بمقدار $4\lambda_g/8$ عن مستوى النسب.

إن الحقل الكهربائي المقياس في مستوى المسابر n الذي يتوضع على بعد x من المستوى المرجعي [8,7] يعطى بالعلاقة:

$$E_n = E_r e^{jβx} + E_i e^{-jβx} \quad (18)$$

حيث $E_r = E_i |ρ|e^{jθ}$ ، وبالتعويض عن E_r بقيمتها في العلاقة الأخيرة نجد :

$$E_n = E_i e^{j\beta x} (1 + |\rho| e^{j(\theta - 2\beta x)}) \quad (19)$$

إن الإشارة الملقطة من قبل المسير n , أي P_{sn} تتناسب مع $|E_n|^2$ (وعامل التناسب هو نفسه من أجل كل مسبر يعطي إشارة P_{sn})؛ أي ذات صيغة تربيعية بالنسبة لعامل الانعكاس.

يكون بعد المسير $-l$ الأول عن مستوى النسب: $x = \frac{\lambda_g}{2} + \frac{\lambda_g}{8}$ بالتعويض في العلاقة (19)

نحصل على:

$$P_{s1} = E_i^2 \left| 1 + |\rho| e^{j(\theta - \frac{\pi}{2})} \right|^2 = E_i^2 (1 + |\rho|^2 + 2|\rho| \sin \theta)$$

بينما يبعد المسير الثاني مسافة $\frac{\lambda_g}{2} = x$, وبالتعويض في العلاقة (19) نجد:

$$P_{s2} = E_i^2 \left| 1 + |\rho| e^{j\theta} \right|^2 = E_i^2 (1 + |\rho|^2 + 2|\rho| \cos \theta)$$

من أجل المسير الثالث يكون: $x = \frac{\lambda_g}{2} - \frac{\lambda_g}{8}$

$$P_{s3} = E_i^2 \left| 1 + |\rho| e^{j(\theta - \frac{\pi}{2})} \right|^2 = E_i^2 (1 + |\rho|^2 - 2|\rho| \sin \theta)$$

واخيراً يبعد المسير الرابع عن مستوى النسب $x = \frac{\lambda_g}{4}$

$$P_{s4} = E_i^2 \left| 1 + |\rho| e^{j(\theta - \pi)} \right|^2 = E_i^2 (1 + |\rho|^2 - 2|\rho| \cos \theta)$$

يجب التأكد من أن الإشارات الملقطة من قبل المسابير الأربع، تحقق فيما بينها العلاقة التالية:

$$P_{s1} + P_{s3} = P_{s2} + P_{s4} \quad (20)$$

كما أن فرق الطور بين هذه الإشارات يجب أن يتحقق العلاقة :

$$\theta = \operatorname{arctg} \frac{P_{s1} - P_{s3}}{P_{s2} - P_{s4}} \quad (21)$$

إن السماحية العقدية في مستوى النسب تعطي بالعلاقة:

$$Y = G + j(B + B_t - \operatorname{tg} \beta d) \quad (22)$$

أما عامل الانعكاس فيتحقق العلاقة :

$$\rho = |\rho| e^{j\theta} = \frac{1 - G - j(B + B_t - \operatorname{tg} \beta d)}{1 + G + j(B + B_t - \operatorname{tg} \beta d)} \quad (23)$$

أي أن :

$$|\rho| = \sqrt{\frac{(1 - G)^2 + (B + B_t - \operatorname{tg} \beta d)^2}{(1 + G)^2 + (B + B_t - \operatorname{tg} \beta d)^2}} \quad (24)$$

$$\operatorname{tg} \theta = - \frac{2(B + B_t - \operatorname{tg} \beta d)}{1 - G^2 - (B + B_t - \operatorname{tg} \beta d)^2} \quad (25)$$

تفترض طريقة القياس، أن العينة متوضعة في منطقة تكون قيمة الحقل الكهربائي فيها أعظمية، هذا يعني أن القسم التخيلي للسماحية العقدية \mathbb{Y} معدوم؛ أي أن:

$$B + B_t = \operatorname{tg} \beta d \quad (26)$$

ولدينا أيضاً $\operatorname{tg} \theta = 0$ ، أي يجب أن يتحقق :

$$\operatorname{arctg} \frac{P_{s1} - P_{s3}}{P_{s2} - P_{s4}} = 0 \quad (27)$$

وفي هذه الحالة :

$$P_{abs} = P_i \frac{4G}{(G+1)^2} \quad \text{و} \quad G = \sqrt{\frac{P_{s4}}{P_{s2}}} \quad |\rho|^2 = \left(\frac{1-G}{1+G} \right)^2 \quad (28)$$

يجب التبيّه على أنه ليس من الضروري، لتحديد B و G هنا، أن تكون الإشارة على المسير الرابع P_{s4} أصغرية، أو $\theta = 0$ ؛ لأن هذا يمكن تحقيقه من أجل أي قيمة ρ .

2-3-1- تعين النهاية الصفرى عند أحد المسابير:

لنفرض أن الإشارة المقيسة على المسير الرابع، على سبيل المثال، هي ذات قيمة أقل من قيم الإشارات المقيسة على بقية المسابير ولنبحث عن النهاية الصغرى الواقعه في جوار هذه القيمة.

نعلم أن الإشارة P_{s4} من الشكل:

$$P_{s4} = E^2 (1 + \rho^2 - 2\rho \cos \theta) \quad (29)$$

عند النهاية الصغرى تكون $\theta = 0$ ؛ أي أن :

$$P_{s4} = P_{s4\min} + E^2 \rho \sin^2 \frac{\theta}{2} : P_{s4\min} \text{ بدلالة } P_{s4}$$

$$P_{s4} = P_{s4\min} + E^2 \rho \left(\frac{4\pi}{\lambda_g} \right)^2 (x - x_o)^2 : \theta = \frac{4\pi}{\lambda_g} (x - x_o)$$

وهي من الشكل : $P_{s4} = a + b(x - x_o)^2$ ، وبالتالي يمكننا تقدير الخطأ النسبي في تعين القيمة الصغرى، أي في حساب النسبة التالية:

$$\frac{P_{s4} - P_{s4\min}}{P_{s4\max}} = \frac{\rho}{(1+\rho)^2} \left(\frac{2\pi}{\lambda_g} \right)^2 (\Delta x)^2 \quad (30)$$

يمكننا تعين النهاية الصغرى بأخذ ثلات نقاط في جوار النقطة الصغرى وبفرض أن الشكل العام لإشارة المسير الرابع هو : $v = a + b x + c x^2$ بفرض أن $x_2 = x_1 + \Delta x$ ، $x_3 = x_1 - \Delta x$ ، باستخدام طريقة أصغر المربعات [9]، للحصول على قيم الوسائط a ، b و c بحيث يكون المجموع التالي أصغرياً:

$$R = \sum_{i=1}^n (v_i - a - bx_i - cx_i^2)^2 \quad (31)$$

نجد بعدها النهاية الصغرى باشتقاء علاقة v بالنسبة إلى x :

$$x_{\min} = -\frac{b}{2c}, v_{\min} = -\frac{b^2}{4c} \quad (32)$$

2-3-2- الإجراءات التجريبية:

نستخدم خط قياس (عبارة عن قطعة من دليل موجة مستطيل المقطع، أبعاده $a = 8.36\text{cm}$, $b = 4.32\text{cm}$ الأنبوب الحامل للعينة $d = 1.75\text{cm}$ ، أما التردد المستخدم $f = 2.45\text{GHz}$ ، وطول الموجة المرافق له في الهواء $\lambda = 12.34\text{cm}$ بينما طول الموجة ضمن الدليل $\lambda_g = 17.34\text{cm}$. تنسع الأنابيب الحامل للعينة في مكانه ضمن خط القياس الثابت.

- نغير موضع المكبس المقصور الموجود خلف حامل العينة إلى الموضع d_1 ، حيث يشير مقياس الجهد الموصول مع المسير الرابع إلى قيمة صغرى؛ ولتكن v_1 .
- نملاً الأنابيب بالسائل المراد تعين ثابت عزله الكهربائي، ونغير موضع المكبس المقصور من جديد إلى الموضع d_2 ، الذي من أجله يكون الجهد المسجل على نفس المسير أصغرياً، ولتكن v_2 (يمكن تغيير موضع المكبس المقصور بشكل يدوي أو آلي، باستخدام الحاسوب، وذلك بربط الحاسوب بالتجهيزات المستخدمة وتسجيل النتائج ورسم المنحنيات. من أجل تحديد النهاية الصغرى بدقة عند المسير الرابع، لابد من استخدام طريقة أصغر المربعات المذكورة في الفقرة (1-3-2)).

- نلاحظ أن الفرق $d_2 - d_1$ صغير جداً أمام λ_g ، وبالتالي يمكننا اعتبار الموضع الأصلي للمكبس المقصور هو عندما يكون الأنابيب حامل العينة فارغاً أي d_1 .
- نحسب قيم B و G من العلاقات (26) و (28) ثم نستنتج قيم ' v ' و ' v'' من العلاقات (11).
ونحصل على الجدول التالي:

جدول قيم ' v ' و ' v'' للمواد المدرosaة.

v''	v'	المادة المدرosaة
9.8	77.8	H_2O
0.31	2.72	CCl_4
0.62	4.85	$CHCl_3$

إن الخطأ المركب في حساب ' ϵ ' و ' η ' يمكن أن يتم من حساب العامل k ، الذي يتعلق بقطر الأنابيب الحامل للعينة فقط، وكذلك من حساب العامل d ، الذي يتعلق بدوره بأحد أبعاد دليل الموجة a ، وقطر الأنابيب الحامل للعينة المدروسة.

REFERENCES

المراجع

- [1] MARCUVITZ, M. 1951 - Waveguide Handbook Mc. Graw Hill, New York,
pp.266-267.
- [2] SUCHER M. and FOX J., 1963 - Handbook of Microwave Measurements
Polytechnic Press of the Polytechnic Institute of Brooklyn Vol II, pp.
495-518.
- [3] GINZTON E.L. 1957 - Microwave Measurements Mc.Graw Hill Book Company, Inc., pp.307-311.
- [4] VON HIPPEL A. R., 1954 - Dielectrics Materials And Applications.
New York, MIT Technology Press and Wiele, pp. 241-242.
- [5] ENGEN G. F., 1978 – Advance in Microwave Measurement Science.
PIEEE, vol. 66, no. 4, pp. 374-384
- [6] AFSAR M. N., BIRCH J. R. and CLARCKE R. N., 1986-
The Measurements of Properties of Materials. PIEEE, vol. 74(1), pp.183-199.
- [7] MARTIN E., MARGINEDA J. and ZAMARRO J. M., 1982 – An Automatic Network Analyzer Using a Slotted Line Reflectometer. Trans. IEEE on MTT, vol. MTT-30, no. 5, pp. 667-670
- [8] XI-PING H., 1987 - Using six-port Reflectometer Measurement of Complex Dielectric Constant IEEE, vol. MI-36 (2), pp.537-539.
- [9] JUAN M., MARTA R. and JOSE M., 1993 - A Methode for Measuring the Permittivity without Ambiguity Using Six-port Reflectometer.
IEEE, Trans. On IM, vol. 429 (2), pp. 222-226